



## بررسی عددی اثر شرط مرزی سرعت لغزشی بر تحلیل دینامیکی ایرفویل دو بعدی

احسان بختیاری<sup>۱</sup>، کبری قرئلی<sup>۲\*</sup>، سید فرشید چینی<sup>۲</sup>

۱- فارغ‌التحصیل کارشناسی ارشد، مهندسی مکانیک، دانشگاه تهران، تهران

۲- استادیار، مهندسی مکانیک، دانشگاه تهران، تهران

\* تهران، صندوق پستی 1417613131

kgharali@ut.ac.ir

۱- فارغ‌التحصیل کارشناسی ارشد، مهندسی مکانیک، دانشگاه تهران، تهران

۲- استادیار، مهندسی مکانیک، دانشگاه تهران، تهران

۳- تهران، صندوق پستی 21 اردیبهشت

### اطلاعات مقاله

مقاله پژوهشی کامل

دریافت: 30 پهمن 1396

پذیرش: 19 فروردین 1397

ارائه در سایت: 21 اردیبهشت 1397

کلید واژگان:

پره توپیں بادی

استال دینامیکی

شرط مرزی لغزش

فوق آنگریزی

دینامیک سیالات محاسباتی

در این پژوهش به بررسی دو بعدی ایرفویل SD7037 در حرکت دینامیکی و در حضور شرط مرزی لغزشی بصورت عددی پرداخته شده است. حرکت دینامیکی ایرفویل، حرکتی هارمونیک بوده است؛ بطوریکه فرکانس نوسانات و دامنه آنها به حدی بوده که ایرفویل متتحمل پدیده‌های استال دینامیکی شده است. استال دینامیکی هنگامی ایجاد می‌شود که حرکت غیربکنواخت ایرفویل، سبب ایجاد گردابه‌های استال دینامیکی شود. این گردابه‌ها که گردابه‌ی لبه‌ی جلویی و گردابه‌ی لبه‌ی پشتی هستند، بارهای آبیودینامیکی را به شدت افزایش می‌دهند. تحلیل این پدیده هنگامی چالش برانگیز است که شرط مرزی لغزشی بر دیواره ایرفویل حاکم باشد. این شرط مرزی خاص، عموماً مشخصه‌ی سطوح فوق آنگریز است. سطوح فوق آنگریز می‌توانند به طور بالقوه از بخ‌زدگی پره جلوگیری کنند. مشخصه‌ی باز این سطوح، وجود سرعت لغزشی بر دیواره است. سرعت لغزشی قطعاً در تحلیل آبیودینامیک مساله تاثیر دارد که هدف اصلی این مقاله است. برای نیل به این هدف، ایرفویل دو بعدی در عدد رینولدز  $\text{Re} \approx 4 \times 10^4$  با ابزار دینامیک سیالات محاسباتی و با استفاده از مدل توبولاسی گذار SST تحلیل شده است. نتایج حاکی از آن بودند که نه تنها شرط مرزی لغزشی بر بارهای آبیودینامیکی اثر قابل‌توجه داشته است، بلکه رژیم‌های استال دینامیکی را نیز مستحکم تغییر کرده است. به طوری که در طول‌های لغزشی بالاتر 100 میکرومتر، مقدار بیشینه‌ی ضربی برآ به میزان 16% کاهش داده است. ضربی فشار در لبه‌ی جلویی در هنگام تشکیل گردابه‌ی استال دینامیکی به اندازه 2.5 برابر نسبت به شرط عدم لغزش کاهش یافته که سبب تأخیر در تشکیل گردابه شده است.

## A numerical study of slip velocity effects on a 2D airfoil dynamic analysis

Ehsan Bakhtiari, Kobra Gharali\*, Farshid Chini

Department of Mechanical Engineering, University of Tehran, Tehran, Iran

\* P.O.B. 1417613131, Tehran, Iran, kgharali@ut.ac.ir

### ARTICLE INFORMATION

Original Research Paper

Received 19 February 2018

Accepted 08 April 2018

Available Online 11 May 2018

#### Keywords:

wind turbine blade

dynamic stall

slip boundary condition

super-hydrophobicity

CFD

### ABSTRACT

Dynamic motion of a 2D SD7037 airfoil is investigated numerically in presence of a slip boundary condition. The dynamic motion of the airfoil is a harmonic oscillation, where the frequency and amplitude of oscillations were adequate to airfoil to undergo dynamic stall phenomenon. Dynamic stall occurred when the dynamic motion of the airfoil causes dynamic stall vortices, resulting in leading edge and trailing edge vortices which lead to rising the aerodynamic loads significantly. Analyzing the phenomenon is challenging especially when a slip boundary condition exists near the airfoil wall. This particular condition is the general property of super-hydrophobic surfaces. These surfaces could potentially prevent the blade from icing. The main characteristic of these coatings is the appearance of a slip velocity on the wall. The slip velocity can affect the airfoil aerodynamics which is the main purpose of this paper. In this regard, a 2D airfoil with the Reynolds number of  $\text{Re} \approx 4 \times 10^4$  is analyzed using computational fluids dynamics (CFD). The Transition-SST model is applied. The results showed that not only the slip condition affects the aerodynamic loadings, but also the dynamic stall regimes changed considerably. So that for slip lengths higher than 100 micrometers, the maximum magnitude of the lift coefficient damped by 16%. The pressure coefficient over the leading edge was reduced 2.5 times during the dynamic stall vortex formation which led to delay the vortex formation.

خروجی از توربین افزایش می‌باید. بخ‌زدگی پره‌ی توربین مهم‌ترین چالشی

است که در طول عمر مغاید توربین‌های مناطق سردسیر، می‌تواند رخ دهد و توان خروجی را کاهش دهد [2].

بخ‌زدگی پره، می‌تواند کارایی توربین را دچار چالش نماید. رشد بخ روی پره سبب عدم بالانس جرمی و نیز دینامیکی روتور می‌شود [3]. بخ‌زدگی روی پره، حتی در مراحل ابتدایی نیز کارایی توربین را به‌طور عمدی کاهش

امروزه انرژی بادی به عنوان یک منبع پاک و تجدیدپذیر برای تولید الکتروسیستمه استفاده می‌شود. لذا پیش‌بینی شده است که طرفیت بهره‌برداری از این انرژی در دهه‌ی آتی به میزان 30 درصد افزایش یابد [1]. یکی از مناطق مناسب برای نصب توربین بادی، مناطق سردسیر است که در این اقلیم از لحظه توربی، به‌دلیل جریان شدید هوای می‌توان انتظار داشت که توان

### 1- مقدمه

امروزه انرژی بادی به عنوان یک منبع پاک و تجدیدپذیر برای تولید

الکتروسیستمه استفاده می‌شود. لذا پیش‌بینی شده است که طرفیت بهره‌برداری از

این انرژی در دهه‌ی آتی به میزان 30 درصد افزایش یابد [1]. یکی از مناطق

مناسب برای نصب توربین بادی، مناطق سردسیر است که در این اقلیم از

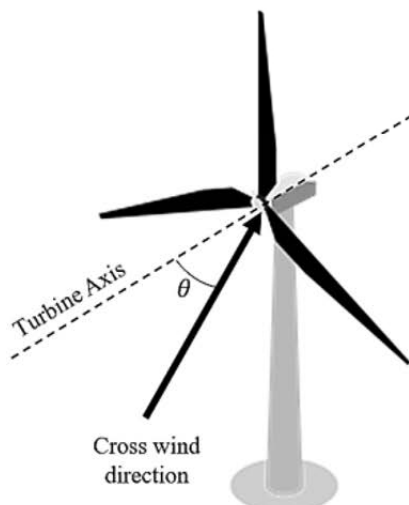
لحاظ توربی، به‌دلیل جریان شدید هوای می‌توان انتظار داشت که توان

در سال 2014 قرئی وجансون [13] توسط تست های سرعت سنجی<sup>۷</sup> یک ایرفویل SD7037 را در فرکانس های نوسانی متفاوت مورد بررسی خود قرار دادند. نویسندها بیان نمودند که با افزایش فرکانس، تعداد گردابه های استال دینامیکی رشد یافته بر لبه جلویی کاهش و مقدار ورتیسیتی هی این گردابه افزایش چشم گیری می یابد.

تاکنون هیچ پژوهشی اثر شرط مرزی لغزشی را بر کارایی یک ایرفویل توربین بادی، تحت بارهای انحرافی بررسی نکرده است. بنابراین، مطالعه ایرونودینامیکی این اثرات هدف اصلی این مقاله است.

به منظور بررسی پیدیده هی استال دینامیکی در حضور شرط مرزی لغزشی، یک ایرفویل SD7037 دو بعدی با استفاده از ابزار دینامیک سیالات محاسباتی وبا عدد رینولدز  $\approx 4 \times 10^4$ . با بهره گیری از مدل گذار SST<sup>۸</sup> مدل سازی شده است. از آن جا که عدد ایرفویل یاد شده، از نوع رینولدز-پابین است، می تواند برای روتور یک توربین بادی با مقیاس کوچک مورد استفاده قرار گیرد. پژوهشی اخیرا در سال 2017 توسط بختیاری و همکاران [15] انجام شده است که بر طبق یافته های آن ها، اعمال یک پوشش فوق آبرگیری بر یک ایرفویل استاتیک، در طول های لغزشی نزدیک به 400 میکرومتر، ضریب برآی آیرونودینامیکی تا میزان 31.4% افزایش و ضریب پسای آیرونودینامیکی نیز تا میزان 51.4% کاهش داشته است. لازم به ذکر است که زاویه های حمله ای ایرفویل استاتیکی بیشتر از نقطه استال دینامیکی بوده است و لذا در صد تغییرات بیان شده منطقی می باشد.

در پژوهش پیش رو، رویکرد اصلی بررسی عددی اثر شرط مرزی لغزشی در حالت دینامیکی و در زمان رخداد پیدیده استال دینامیکی است. دامنه و فرکانس نوسان ایرفویل به حدی است که پیدیده استال دینامیکی رخ داده است. چرا که در حالت شرط مرزی عدم لغزشی، برای بارهای آیرونودینامیکی، یک افزایش آنی قابل توجه وجود داشته که حاکی از رخداد استال دینامیکی است. این موضوع در بخش 4 و با مشاهده ضرایب آیرونودینامیکی واضح است.



**Fig. 1** Schematic of cross wind on rotor (yaw loads); part of figure is from [14]

شکل ۱ شماتیک بارهای عرضی واردہ به روتور توربین (بارهای انحرافی)، بخشی از شکل از [14] است.

<sup>7</sup> Particle Image Velocimetry (PIV)

<sup>8</sup> Transition-SST

داده و سبب بارگذاری مزاد به دلیل استال های تاریخی شود [4]. همچنین يخ زدگی می تواند سبب کاهش عمر خستگی پرهی توربین، از منظر مقاومت صالح گردد [5]. در شرایط بسیار بد آب و هوایی، يخ زدگی شدید پره می تواند سبب توفیق کامل روتور توربین بادی گردد [4]. قطعات بزرگ يخ تشکیل شده بر روی پره ها، ممکن است از روتور جدا و سقوط کرده و متعاقباً تهدیداتی را برای اینسان ها در مجاورت مزارع بادی ایجاد کند [6,5].

روش های متعددی برای جلوگیری از رشد پروفیل يخ روی پره وجود دارد که اکثرآ مستلزم مصرف انرژی الکتریسیته است [7] و یا استفاده ای عملی در کاربردهای توربین بادی نمی تواند داشته باشد [2]. یکی از روش هایی که به تازگی در سال های اخیر مطرح شده است، استفاده از سطوح فوق آبرگیری<sup>۹</sup>، به عنوان پوشش است. این پوشش ها می توانند از تجمع قطرات آب ناشی از رطوبت هوا روی لبه جلویی پره جلوگیری نمایند؛ لذا این قطرات تشکیل شونده، فرصتی را برای يخ زدگی روی پره نخواهند داشت. در پژوهش بیان شده توسط آنتونینی<sup>۱۰</sup> و همکاران [8] نتایج حاکی از آن بودند که اعمال یک پوشش فوق آبرگیری بر لبه جلویی یک بال، انرژی حرارتی لازم را برای دفع يخ تا میزان 80% کاهش می دهد.

کافو<sup>۱۱</sup> و همکاران [9] به طور کیفی و تجربی اثر حضور یک پوشش فوق آبرگیری را در جریان برخورده آب مادون سرد به یک صفحه شیبدار بررسی نمودند. نتایج آن ها این حقیقت را آشکار نموده اند که برای سطح الومینیوم معمولی، قطرات آب بسیار نزدیک به نقطه برخورد جریان يخ می زند؛ این در حالی است که برای پوشش فوق آبرگیری، قطرات آب در نقطه برخورد تجمع نیافته و در نواحی قابل توجه دوری از نقطه سکون جریان يخ می زندند. از مطالب گفته شده در بالا این مهم برمی آید که استفاده از یک سطح فوق آبرگیری به عنوان یک پوشش بر روی پره، بالاخص در لبه جلویی، می تواند از يخ زدگی پرهی توربین بادی جلوگیری نماید.

حال با فرض اعمال چنین پوششی بر سطح پرهی توربین، تحلیل آیرونودینامیکی مساله قطعاً تغییر می یابد؛ چرا که مشخصه بارز گذاری آبرگیری از منظر مکانیک سیالات، وجود یک سرعت لغزشی بر دیواره است. در بخش 2 این پارامتر توضیح داده شده است. این تاثیر هنگامی می تواند برخانی گردد که ایرفویل تحت شرایط استال دینامیکی واقع شود.

استال دینامیکی، با تاخیر استال به دلیل تغییر غیر یکنواخت زاویه های حمله مرتبط است. نتیجه هی این تاخیر، افزایش شدید و ناگهانی ضرایب آیرونودینامیکی است [10]. استال دینامیکی به دلیل زیادی می تواند بر توربین بادی تحمل گردد. عمدتی این دلایل، کارکرد توربین تحت بادهای عرضی<sup>۱۲</sup> و یا بارگذاری انحرافی<sup>۱۳</sup> می باشد [11]، (شکل ۱).

پیدیده استال دینامیکی توسط پژوهشگران زیادی از حدود 60 سال پیش همواره مورد توجه بوده است. مک کراسکی<sup>۱۴</sup> و همکاران [12] پژوهش جامعی را در این زمینه انجام داده و پرسه های استال دینامیکی را دسته بندی نمودند. بر طبق این یافته، در هنگام رخداد استال دینامیکی شدید گردابه ای استال دینامیکی قویاً توسعه می یابد. این موضوع سبب افزایش و نوسانات شدید در بارهای آیرونودینامیکی در سیکل نوسان ایرفویل می گردد. بارهای آیرونودینامیکی در این حالت حساسیت کمی به عدد رینولدز جریان و یا حرکت ایرفویل دارند.

<sup>1</sup> superhydrophobic

<sup>2</sup> Antonini et al.

<sup>3</sup> Cao et al.

<sup>4</sup> Cross wind

<sup>5</sup> yaw

<sup>6</sup> McCroskey et al.

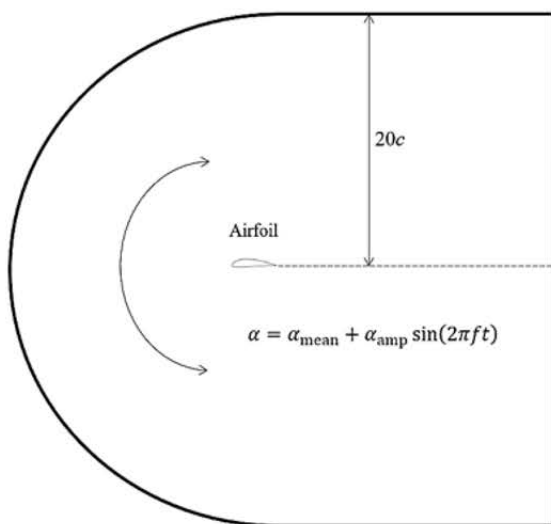


Fig. 3 Oscillating grid about  $\alpha_{\text{mean}}$  according to Eq.(2) [15]  
[15] شبکه‌ی نوسان‌کننده حول  $\alpha_{\text{mean}}$  بر طبق رابطه‌ی (2)

شایان توجه است که محل قرار گیری پوشش فوق آبگریز در این مقاله در ناحیه‌ی لبه‌ی جلویی فرض شده است؛ به طوری که سمت مکشی و سمت فشاری ایرفویل را از لبه‌ی جلویی تا یک چهارم طول قوس، یعنی تا مرکز آبرودینامیکی ایرفویل دربرمی‌گیرد. "شکل 4" بیانگر محل فرض شده برای پوشش فوق آبگریز است. عدد رینولدز جریان، ثابت و برابر  $10^4 \times 4$  در نظر گرفته شده است. عدد رینولدز نیز مطابق معادله‌ی (4) تعریف شده است.

$$\text{Re} = \frac{\rho U_\infty c}{\mu} \quad (4)$$

که  $\rho$  و  $\mu$  به ترتیب برابر چگالی و لزجت دینامیکی هوا می‌باشد. برای اعمال سرعت لغزشی در ناحیه‌ی پوشش فوق آبگریز، یک "ک" تابع تعريف شده توسط کاربر<sup>7</sup> نوشته شده است که سرعت لغزشی را به صورت سرعت دیواره نسبت به سلول همسایه، بر طبق رابطه‌ی (1) در نظر گرفته است. به منظور پایداری حل دینامیک سیالاتی، از یک ضرب آرام‌کننده<sup>8</sup> در داخل کد لغزش بهره‌گرفته شده است. علاوه بر کد لغزشی، یک کد نیز برای اجرای حالت نوسانی مش محاسباتی، بر طبق رابطه‌ی (2) نوشته شده است. این کد کل دامنه‌ی محاسباتی را که شامل ایرفویل نیز می‌گردد، به صورت یک جسم صلب نوسان می‌دهد؛ در واقع مکان‌های گره‌های محاسباتی نسبت به یکدیگر در تمامی گام‌های زمانی جایجا نشده است.

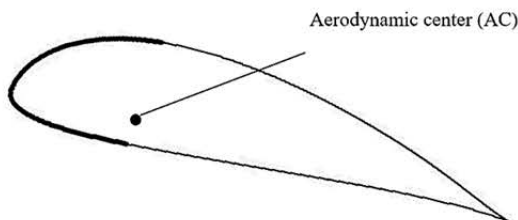


Fig. 4 Assumed location of the super-hydrophobic coating  
شکل 4 محل فرض شده برای پوشش فوق آبگریز

<sup>7</sup> User-defined function (UDF)  
<sup>8</sup> Relaxation factor

#### 1- شرط مرزی لغزشی

همان‌طور که در "شکل 2" نشان داده شده است، برخلاف سطوح عادی، سیال روی یک پوشش فوق آبگریز می‌لغزد [16]. در نتیجه شرط مرزی دیواره در این حالت، دیگر عدم لغزش نبوده و در واقع یک سرعت لغزشی روی سطح پدیدار می‌شود.

پارامتر مشخصه برای توصیف سیالاتی این سطوح، طول لغزش<sup>1</sup> است که در شکل مذبور نشان داده شده است. طول لغزشی توسط ناویر<sup>2</sup> [17] توسعه داده شده است. ناویر شرط مرزی جدیدی را برای گازهای رنیق، تحت عنوان ناویر-لغزش، طبق رابطه‌ی (1) مطرح نموده است. این رابطه بیان می‌دارد که سرعت لغزشی، با تنفس برخی سیال و همچنین طول لغزشی مرتبط است.

$$U_{\text{slip}} = L_s \left( \frac{\partial U_s}{\partial \eta} \right) \quad (1)$$

که در این رابطه،  $L_s$  بیانگر طول لغزشی و  $(\partial U_s / \partial \eta)$  ممبن گرادیان سرعت لغزشی بر دیواره‌ی جامد، نسبت به بردار نرمال سطح است.

#### 2- رویکرد عددی

به منظور مطالعه‌ی دینامیکی، ایرفویل SD7037 یک نوسان گامی<sup>3</sup> را حول مرکز آبرودینامیکی<sup>4</sup> ایرفویل، مطابق "شکل 3" داشته است. حرکت ایرفویل، نوسان سینوسی بوده که به صورت رابطه‌ی (2) می‌باشد:

$$\alpha = \alpha_{\text{mean}} + \alpha_{\text{amp}} \sin(2\pi ft) \quad (2)$$

که  $\alpha_{\text{mean}}$ ،  $\alpha_{\text{amp}}$  و  $f$  به ترتیب برابر زاویه‌ی حمله‌ی میانگین، دامنه‌ی نوسانات و فرکانس نوسان ایرفویل است. لازم به ذکر است که در پژوهش حاضر،  $\alpha_{\text{amp}}$  و  $f$  هردو برابر  $11^\circ$  بوده و  $f$  از رابطه‌ی فرکانس کاهیده<sup>5</sup> به صورت رابطه‌ی (3) توصیف می‌گردد:

$$k = \frac{\pi f c}{U_\infty} \quad (3)$$

که  $k$  ممین فرکانس بی‌بعد کاهیده،  $U_\infty$  بیانگر سرعت جریان آزاد و  $c$  بیان‌کننده طول قوس ایرفویل بوده که در این مطالعه برابر  $0.026 \text{ m}$  می‌باشد. فرکانس کاهیده در تمام حالات تحلیل مقاله‌ی پیش‌رو، ثابت و برابر  $0.12$  بوده است.

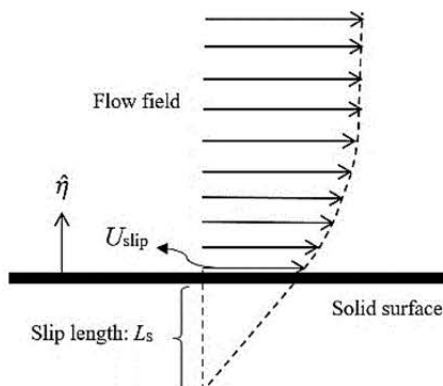


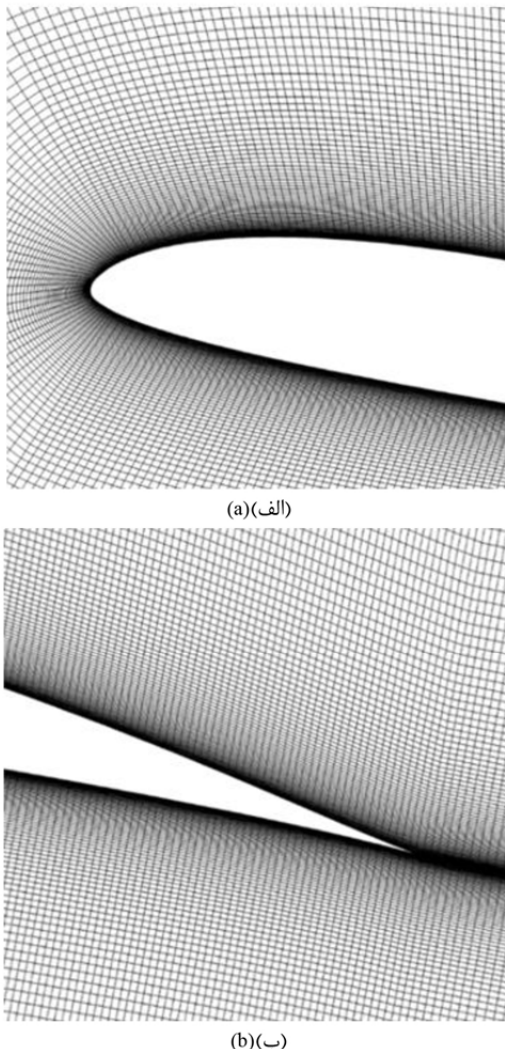
Fig. 2 Slip length and slip velocity vectors on the wall  
شکل 2 شماتیک طول لغزشی و بردارهای سرعت لغزشی بر دیوار

<sup>1</sup> Slip length  
<sup>2</sup> Navier CLMH  
<sup>3</sup> Pitch oscillating  
<sup>4</sup> Aerodynamic center (AC)  
<sup>5</sup> Reduced frequency  
<sup>6</sup> Chord length

آوردن داده های تجربی و از مدل گذار برای نتایج عددی استفاده کردند. به منظور صحه سنجی، مقادیر زاویه حمله میانگین و دامنه نوسانات زاویه حمله در  $11^\circ$  و فرکанс بی بعد کاهیده در ۰.۰۵، به دلیل موجود بودن داده های عددی در این فرکانس، ثابت گردید. نتایج حاکی از بیشینه خطا ۳٪ بودند که برای روند حل عددی قابل قبول است. "شکل ۶" ثابت می کند که رویکرد استفاده شده در این مقاله، به خوبی می تواند مشخصه های استال دینامیکی را دنبال نماید.

#### 4- بحث و نتایج

سرعت لغزشی یا بعبارت بهتر شرط مرزی لغزشی با توجه به رابطه ناویر، معادله (۱)، با موفقیت با استفاده ازتابع تعریف شده توسط کاربر، بر روی سطح ایرفویل اعمال شده است. "شکل ۷" پروفیل سرعت را در زیرلايه ایزوج در نزدیکی دیواره پره نشان می دهد. با مشاهده سرعت دیواره ایزوفیل دینامیکی، مرز بین پوشش فوق آبگریز و سطح بدون پوشش پره بخوبی



**Fig. 5** Close up view of the generated C-Type grid near the airfoil; a) leading edge and b) trailing edge of the airfoil

شکل ۵ نمای نزدیک شبکه نوع C ایجاد شده حول ایرفویل؛ (الف) لبه جلویی و (ب) لبه پشتی ایرفویل.

<sup>۹</sup> Viscous Sub-layer

#### 3-1- شبکه محاسباتی

برای انجام محاسبات دینامیک سیالاتی، یک مش نوع <sup>۱</sup>C حول ایرفویل ایجاد شده است. اندازه های متفاوت برای مش از منظر تعداد سلول ها، ایجاد و آزمایش شد تا استقلال از شبکه بررسی گردد. در نهایت، شبکه نهایی تعداد  $1.55 \times 10^5$  سلول داشت که تعداد گره های حول ایرفویل تقریباً برابر ۴۰۰ بوده است. نتایج استقلال از شبکه در جدول ۱ بیان شده است. همان طور که در این جدول قابل مشاهده است، با ریزتر نمودن سلول های شبکه محاسباتی بیش از شبکه B مقادیر ضرائب آیرودینامیکی تقریباً ثابت می گردد.

ارتفاع اولین سلول دیواره، به حدی بوده است که مقدار <sup>۲</sup>لرا کوچکتر از ۱ نگاه می دارد. مرزهای مش به اندازه ۲۰ برابر طول قوس ایرفویل در نظر گرفته شده است (شکل ۳)، چرا که می توان انتظار داشت که مرزهای شبکه بر جریان گزندنده در نزدیکی ایرفویل اثری نخواهد گذاشت. "شکل ۵" نمای نزدیک مش ایجاد شده را حول ایرفویل نشان می دهد.

#### 3-2- حلگر و مدل سازی توربولانسی

به منظور تعییب پدیده استال دینامیکی، معادلات میانگین گیری شده ناپایای ناویر-استوکس <sup>۳</sup> اعمال شده است. برای مدل سازی توربولانس نیز، مدل گذار SST [18] پهنه گرفته شده است. این مدل ترکیبی از مدل <sup>۴</sup>k-ω SST به همراه دو معادله انتقال دیگر، یکی برای عدد رینولدز ضخامت مومنتوم <sup>۵</sup>Re<sub>θ</sub>، و دیگری برای تناوب <sup>۶</sup>γ است.

مطابق با پژوهش فعلی، قرئی و جانسون [13] با استفاده از مدل گذار SST، پدیده استال دینامیکی را برای یک ایرفویل SD7037 چرخنده، با دقت مناسب نسبت به آزمایش های تجربی مدل کنند. الگوریتم حل فشار-پایه <sup>۷</sup>ناویر-استوکس انتخاب شده است. برای کوپلینگ فشار و سرعت، از روش پیسو <sup>۸</sup> بهره گرفته شد. این انتخابها مطابق با پژوهش [19] است که برای تحلیل استال دینامیکی از روش مشابه استفاده شده است. به منظور گسته سازی مکانی، روش مرتبه دوم در جهت باد <sup>۹</sup> نتایج قابل قبولی را ارائه داده است. معیار همگرایی حل عددی در اندازه <sup>۱۰</sup>O(5e - 5) معین شده است. این اندازه با توجه به پژوهش [13] برای تعقیب مشخصه های جریان، حول یک ایرفویل، با توجه به مدل گذار SST کفايت می کند.

#### 3-3- اعتبارسنجی حل عددی دینامیک سیالات

برای اعتبارسنجی روند عددی به کار رفته در این مطالعه، ضریب پسای حاصله از حالت عدم لغزش با نتایج عددی و تجربی قرئی و همکاران [13] مقایسه شده است. آن ها از یک دستگاه تست سرعت سنجی ذرات <sup>۱۱</sup> برای به دست

جدول ۱ نتایج استقلال از شبکه برای زاویه حمله  $\alpha = 11^\circ$

**Table 1** Mesh independency results at  $\alpha = 11^\circ$

شبکه	تعداد سلول	ضریب بر آیا $C_L$	ضریب پسای $C_D$
A	100650	0.9148	0.1080
B	155340	0.9151	0.1084
C	190420	0.9151	0.1085

<sup>۱</sup> C-Type mesh

<sup>۲</sup> Unsteady Reynolds Averaged Navier-Stocks (URANS)

<sup>۳</sup> Momentum-thickness Reynolds number

<sup>۴</sup> Intermittency

<sup>۵</sup> Pressure-based Navier-Stocks

<sup>۶</sup> PISO

<sup>۷</sup> Second order upwind

<sup>۸</sup> Particle image velocity

بهتر نتایج، نمودار نتایج لغزشی به دو بخش حرکت-بالا<sup>(۱)</sup> و حرکت-پایین<sup>(۲)</sup> تقسیم می شود. وزنی حرکت-بالا هنگامی به کار می رود که ایرفویل در نیم سیکل دورانی خود، حرکتی در جهت افزایش زاویه حمله داشته باشد. به همین ترتیب حرکت-پایین، به حرکتی از ایرفویل گفته می شود که در نیم سیکل دورانی، زاویه حمله روند کاهشی دارد.

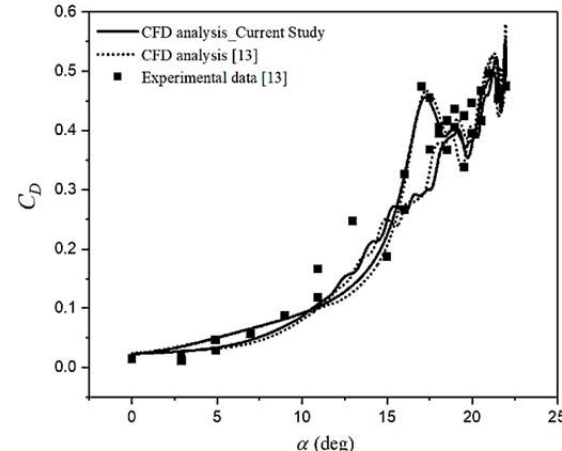
با مشاهده نمودارهای بارهای آیرو دینامیکی در حالت عدم لغزشی، در طی حرکت-بالا، یک افزایش قابل توجه در شب نمودارها در  $\alpha = 17.4^\circ$  دیده می شود. علت این افزایش توسعه گردابهی استال دینامیکی بر لبهی جلویی ایرفویل است [2021]. همچنین تعداد یک افزایش نسبی در شب در نمودارها مشاهده شده است که نشان از رشد یک گردابهی استال دینامیکی در طی حرکت-بالا دارد. این رفتار دقیقاً منطبق با ساختارهای جریان در مرجع [13] است که دلیلی دیگر بر صحبت رویکرد استفاده شده در این پژوهش می باشد.

همان طور که در "شکل 8" نمایان است، در تمامی حالات لغزشی، در طی حرکت-بالا، تمامی نمودارهای لغزشی در مقایسه با شرط عدم لغزش تا زاویه حدود  $\alpha = 17^\circ$  بر روی یکدیگر هم پوشانی دارند. از این امر می توان نتیجه گرفت که تا قبل از تشکیل گردابهی لبهی جلویی، شرط مرزی لغزشی تأثیر چندانی بر ضریب برآ ندارد. در طول لغزشی بسیار کم  $L_S = 5\mu\text{m}$  استال دینامیکی به اندازه  $1.4^\circ$  تعویق، در زاویه  $\alpha = 21.8^\circ$  رخ داده است. لازم به ذکر است که مقدار بیشینه ضریب برآ در این طول لغزشی به میزان ۱.۵٪ نسبت به شرط مرزی عدم لغزشی افزایش داشته است. (شکل 8(الف)). با افزایش یافتن طول لغزشی، زاویهی استال دینامیکی به تاخیر افتاده و به سمت انتهای منحنی حرکت-بالا می رود. با افزایش طول لغزشی در دینامیکی  $L_S = 100\mu\text{m}$  پدیدهی استال دینامیکی در  $\alpha = 21.9^\circ$  رخ می دهد، "شکل 8-ج". مقدار بیشینه ضریب برآ در این طول لغزشی، به میزان ۵.۲٪ نسبت به متناظر آن در شرط مرزی لغزشی کاهش داشته است.

شایان توجه است که در طول لغزشی بیشینه،  $L_S = 400\mu\text{m}$  همان طور که در نمودار "شکل 8-د" دیده می شود، نمودار ضریب برآ هیچ گونه شبی ناگهانی ندارد. در نتیجه می توان نتیجه گرفت که اساساً پدیدهی استال دینامیکی در طول های لغزشی بسیار بالا رخ نمی دهد. مقدار بیشینه ضریب برآ نیز ۱۶٪ کاهش تجربه کرده است.

با دقت در "شکل 8" در نمودار ضرائب برآ، دیده می شود که برای ابتدای حرکت-پایین، به دلیل به تعویق افتادن پدیدهی استال دینامیکی، مقادیر قله های منحنی با یک اختلاف فاز نسبت به شرط عدم لغزشی رخ می دهند؛ بدآن معنی که نمودار برای عدم لغزش، در حالت ماکزیمم نسبی است، نمودار برای لغزشی در مینیمم نسبی قرار دارد و بالعکس. علت این رفتار نیز قطعاً به تعویق افتادن تشکیل گردابهی استال دینامیکی در طی حرکت-بالا می باشد.

مقادیر طول لغزشی در دامنه نوسانات نمودار حرکت-پایین نیز موثر است. همان طور که در "شکل 8-الف" مشاهده می گردد، مقدار دامنه اولین نوسان در بیشینه نمودار، به حدی است که حتی از منحنی حرکت-بالا نیز تجاوز می نماید. با افزایش طول لغزشی می توان گفت که روند اختلاف فازی نمودار لغزشی پابرجا مانده است، اما دامنه نوسانات بسیار کوچکتر شده اند. تا جایی که در طول لغزشی  $L_S = 400\mu\text{m}$  نوسانات تقریباً محو شده است. روند کاهش یافتن نمودار ضرائب برآ برای یک چهارم انتهای سیکل نیز

<sup>1</sup> Upstroke<sup>2</sup> Downstroke

شکل 6 مقایسه نتایج حاصل از پژوهش فعلی و پژوهش قرنی وجاسون در فرانس [13]  $k = 0.05$

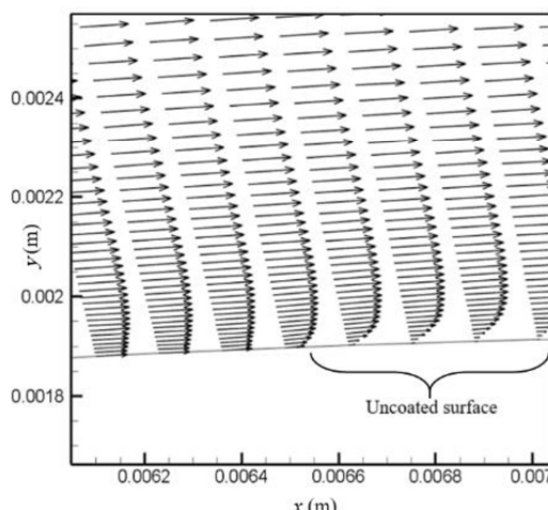
دیده می شود؛ چرا که اساساً سرعت سیال برای دیواره لغزشی صفر نمی باشد. لازم بذکر است که "شکل 7" برای طول لغزشی  $L_S = 100\mu\text{m}$  در نظر گرفته شده است.

برای تحقیق در اثرات شرط مرزی لغزشی، بارهای آیرو دینامیکی در طول های لغزشی متفاوت با متناظر شان برای شرط مرزی عدم لغزش مقایسه شده اند.

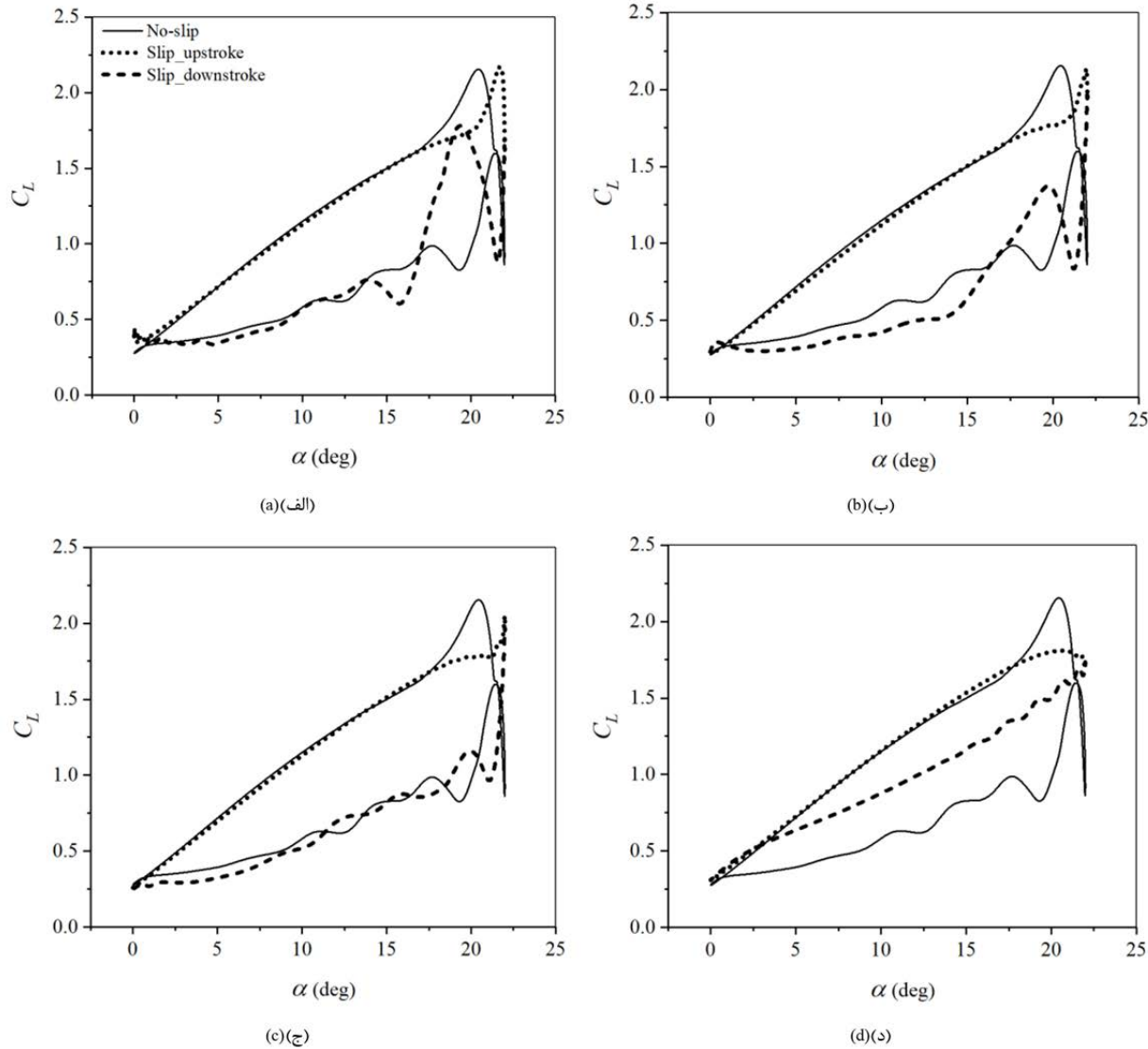
همان طور که پیش تر گفته شد، نوسان دینامیکی ایرفویل به گونه ای است که متحمل استال دینامیکی می گردد. مطابق رابطه (2) و (3) زاویهی حملهی حرکت برای این پژوهش، نهایتاً به صورت معادله (5) است.

$$\alpha = 11 - 11 \sin(70\pi t) \quad [^{\circ}] \quad (5)$$

"شکل 8 و 9" مقایسه بارهای آیرو دینامیکی حاصل از شرط مرزی لغزشی و عدم لغزشی را به ترتیب برای ضریب برآ و پسا نمایش می دهد. برای بررسی



شکل 7 بردارهای سرعت در نزدیکی دیواره برای  $k = 0.12$ : تفاوت بین سرعت دیواره برای سطح پوشش دهنده (شرط مرزی لغزشی) با  $L_S = 100\mu\text{m}$  و برای سطح پرهی بدون پوشش (شرط مرزی عدم لغزش) واضح است.

شکل 8 ضریب برآ برای شرایط مرزی لغزش و عدم لغزش؛ (الف)  $L_S = 5\mu\text{m}$ ، (ب)  $L_S = 50\mu\text{m}$ ، (ج)  $L_S = 100\mu\text{m}$  و (د)  $L_S = 400\mu\text{m}$ . $L_S = 400\mu\text{m}$ 

(د)

منتها آن، برای ضریب برآ است. مجدداً روند کاهشی نمودار در یک چهارم انتهایی سیکل دورانی مشابه منتها آن برای ضریب برآ می‌باشد. همانند نمودار ضریب برآ در "شکل 8"، برای ضریب پسا نیز در "شکل 9"، در طی حرکت-بالا مقادیر بیشینه‌ی نمودار به سمت انتهای نمودار پیش می‌رود، (شکل 9 (الف)، شکل 9 (ب) و شکل 9 (ج)). اما در طول لغزشی بیشینه، یعنی برای  $L_S = 400\mu\text{m}$ ، مقادیر ضریب پسا همان‌طور که در "شکل 9-د" نمایان است، بهطور عمده پایین‌تر از منحنی‌های عدم لغزشی است. علت این امر را می‌توان از "شکل 7" دریافت. چرا که اساساً با افزایش طول لغزشی، پروفیل سرعت در نزدیکی دیواره، در محل قرارگیری پوشش فوق آنکریر، بدليل کاهش یافتن تنش برشی دیواره، یکنواخت‌تر از شرط مرزی عدم لغزشی شده است. این مهم باعث کمتر شدن نیروهای لزجی و متعاقباً ضریب پسا برای ایرفویل می‌شود.

بهطور مشابه، مانند نمودار ضریب برآ، مقدار نوسانات نمودار پسا، بالاخص برای حالت حرکت-پایین، با افزایش طول لغزشی کاهش یافته است؛ تا جایی که در  $L_S = 400\mu\text{m}$  علاوه‌نوسانی در بارها وجود ندارد.

همانند یک چهارم ابتدای سیکل، برای شرط مرزی لغزشی و شرط عدم لغزش تقریباً مشابه است.

شایان توجه است که برای طول لغزشی پایین،  $L_S = 5\mu\text{m}$  همان‌طور که در منحنی ضریب برآ در "شکل 8-الف" دیده می‌شود، در طی حرکت-پایین، یک بیشینه‌ی ناگهانی در نمودار نمایان است که مقدار آن، حتی از مقادیر منتها آن، در همان زاویه‌ی حمله، برای حرکت-بالا بیشتر است. این امر بیانگر شکل گیری یک گردابه‌ی بزرگ و با مقدار ورتیسیته‌ی شدید بر سطح مکشی پره است. "شکل 10"، ساختار ورتیسیته‌ی جریان را برای گردابه‌ی مذبور نشان می‌دهد. مقدار زیاد ورتیسیته‌ی این گردابه حاکی از توسعه یافتنگی بیشتر این گردابه (ناحیه‌ی بسیار کم فشار) حول سطح مکشی ایرفویل است.

"شکل 9" نیز نمودار ضرایب پسا را برای شرط مرزی لغزشی در قیاس با شرط عدم لغزشی نمایش می‌دهد. به غیر از حالت طول لغزشی بسیار بالا، یعنی  $L_S = 400\mu\text{m}$ ، در تمامی حالات مقادیر منحنی حرکت-بالا، پایین‌تر از منحنی حرکت-پایین قرار دارد.

رفتار نمودار منحنی ضریب پسا برای حالت حرکت-پایین، مشابه نمودار

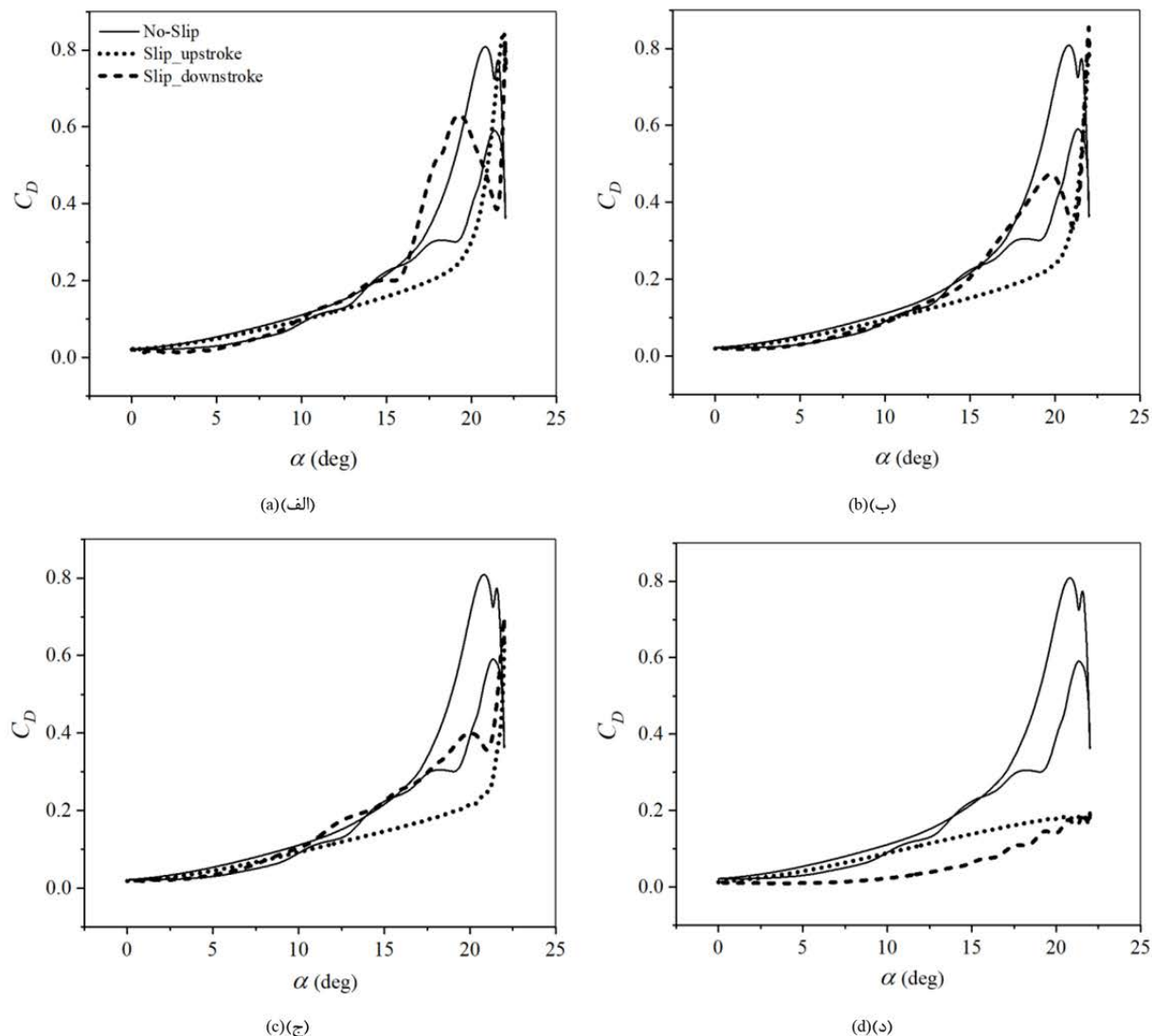


Fig.9 Drag coefficient for no-slip and slip boundary conditions; a)  $L_S = 5\mu\text{m}$ , b)  $L_S = 50\mu\text{m}$ , c)  $L_S = 100\mu\text{m}$  and d)  $L_S = 400\mu\text{m}$ .

.  $L_S = 400\mu\text{m}$  (د)  $L_S = 100\mu\text{m}$  (ج)  $L_S = 50\mu\text{m}$  (ب)  $L_S = 5\mu\text{m}$  (الف)

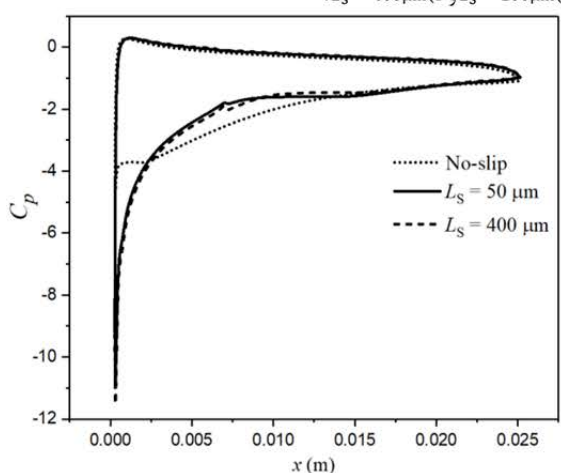


Fig. 11 Pressure coefficients over the airfoil for different slip lengths at angle of attack  $\alpha = 17.5^\circ \uparrow$

شکل 11 ضریب فشار حول ایرفویل در طولهای لغزشی متفاوت برای زاویه حمله

$\alpha = 17.5^\circ \uparrow$

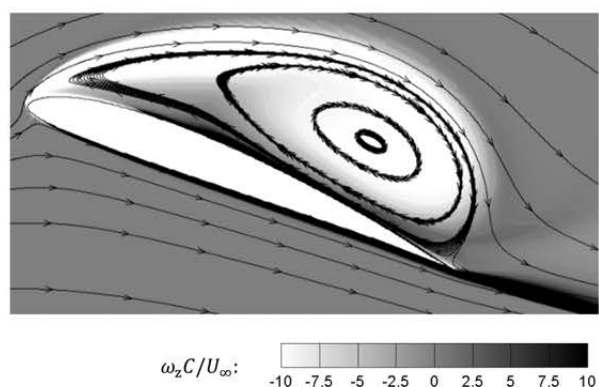


Fig. 10 Non-dimensional vortical structure of the vortex over the suction side of the airfoil with streamlines at  $k = 0.12$  and slip length  $L_S = 5\mu\text{m}$  for  $\alpha = 19.8^\circ \downarrow$ .

شکل 10 ساختار ورتیسیتهای بی بعد گردابه روی سطح مکشی ایرفویل به همراه

خطوط جریان در  $k = 0.12$  در طول لغزشی  $L_S = 5\mu\text{m}$  برای  $\alpha = 19.8^\circ \downarrow$

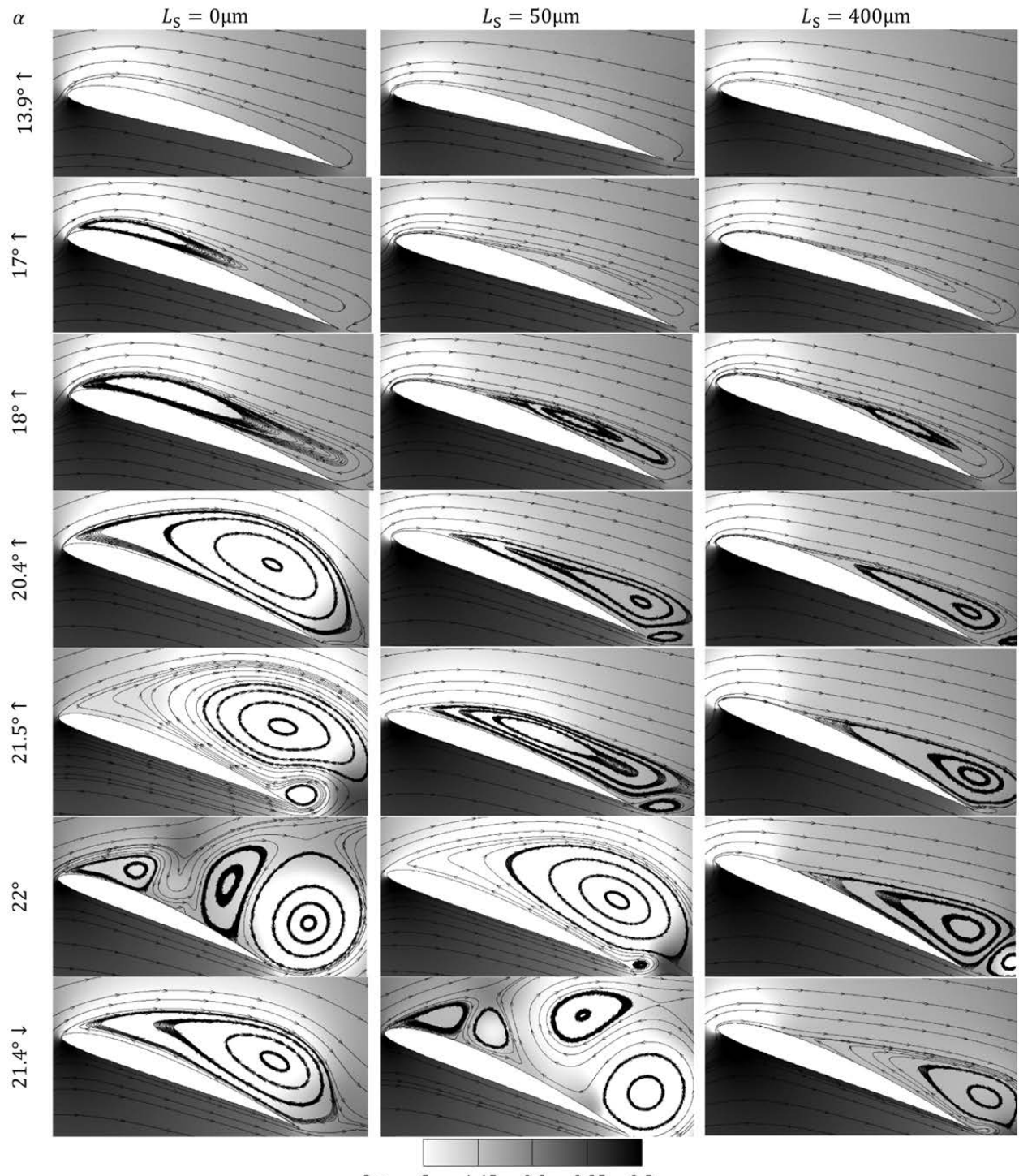


Fig. 12 Governing pressure field structure at oscillating cycle superimposed by streamlines.

شکل 12 ساختار میدان فشار حاکم بر مساله در سیکل نوسانی ایرفویل به همراه خطوط جریان

با افزایش طول لغزشی تشکیل گردابهی استال دینامیکی به طور قابل توجهی به تعویق می‌افتد. ناحیه‌ی کم فشار حاکم بر گردابهی استال دینامیکی به نسبت شرط عدم لغزشی توسعه‌ی کمتری را حول سطح مکشی ایرفویل خواهد داشت؛ به عبارت بهتر اغلب قسمت‌های سمت مکشی ایرفویل دارای فشار بیشتری در حالت لغزشی است. این امر باعث اختلاف فشار کمتر بین سمت فشاری و مکشی ایرفویل شده و متعاقباً بارگذاری کمتری بر ایرفویل صورت می‌گیرد. عدم افزایش در شب نمودارهای بارهای آبرو دینامیکی در

علت تمامی رفتارهای بیان شده در بالا با دقت در ساختارهای جریان توجیه منطقی دارد. "شکل 12" توزیع ضرب فشار جریان گذرنده حول ایرفویل را در طی سیکل نوسانی نشان می‌دهد. واضح است که در زاویه‌ی  $\alpha = 13.9^\circ \uparrow$  توزیع ساختار فشاری حول سطح مکشی ایرفویل، برای شرط مرزی لغزشی و عدم لغزشی بسیار یکسان است. این خود دلیلی بر آن است که پیش از تشکیل ورش گردابهی استال دینامیکی، اعمال شرط مرزی لغزشی اثر چندانی بر بارگذاری روی ایرفویل نخواهد داشت.

اما در طول های لغزشی بسیار پایین، نه تنها مقدار ضریب برآ افزایش ۱.۵٪ را داشته است، بلکه در طی حرکت-پایین، یک پیک بزرگ در نمودار ضریب برآ مشاهده شده است که این پیک در طول درازمدت و در بارگذاری های متتمدی می تواند سلامت ژنراتور را بهطور منفی ای تحت تاثیر قرار دهد.

با افزایش طول لغزشی و یکنواخت تر شدن پروفیل سرعت حول لبهی جلویی ایرفویل، گرادیان فشار معکوس تا اندازه‌ی ۲.۵ برابر نسبت به شرط عدم لغزشی کاهش می‌یابد. در نتیجه ایرفویل کاهش شدید پسای فشاری را تجربه خواهد نمود. به علاوه اندازه‌ی گردابهی استال دینامیکی بسیار کوچک‌تر خواهد شد. بنابراین علی‌رغم فرکانس بالای نوسان ایرفویل، برای طول لغزشی ۴۰۰ $\mu\text{m}$  = ۵، ایرفویل رفتار استاتیکی از خود نشان می‌دهد. با افزایش طول لغزشی، اختلاف فشار بین سمت مکشی و سمت فشاری ایرفویل کاهش می-یابد که در نتیجه بارگذاری کمتری روی ایرفویل صورت می‌پذیرد. توزیع میدان فشاری حاکم بر جریان سیال قبل از شکل‌گیری گردابهی استال دینامیکی برای شرط مرزی عدم لغزشی و شرط لغزشی در تمامی طول های لغزشی یکسان بوده که نشان از عدم تاثیر سرعت لغزشی بر بارهای آبودینامیکی، پیش از تشکیل گردابه دارد.

از آن جا که افزایش ناگهانی بارهای آبودینامیکی در طی پدیده‌ی استال دینامیکی مناسب نمی‌باشد، ولذا اعمال یک پوشش فوق آبگریز با طول های لغزشی بالاتر از ۱۰۰ میکرومتر، می‌تواند در درازمدت انتخاب بهتری باشد؛ چرا که مقدار پیک ضریب برآ را تا میزان ۱۶٪ کاهش داده است.

## 6- فهرست عالم

طول قوس ایرفویل (m)	$c$
ضریب پسا	$C_D$
ضریب برآ	$C_L$
نیروی پسا (N)	$F_D$
نیروی برآ (N)	$F_L$
فرکانس نوسان ( $\text{s}^{-1}$ )	$f$
فرکانس کاهیده	$k$
طول لغزشی (m)	$L_S$
عدد رینولدز	$Re$
سرعت لغزشی ( $\text{ms}^{-1}$ )	$U_{\text{slip}}$
سرعت مماسی ( $\text{ms}^{-1}$ )	$U_s$
سرعت جریان بالا دست ( $\text{ms}^{-1}$ )	$U_{\infty}$
علایم یونانی	
لزجت دینامیکی ( $\text{kgm}^{-1}\text{s}^{-1}$ )	$\mu$
چگالی ( $\text{kgm}^{-3}$ )	$\rho$
بردار نرمال سطح	$\eta$
مقادیر ورتیسیته در جهت z ( $\text{s}^{-1}$ )	$\omega_z$
زاویه‌ی حمله (°)	$\alpha$
زیونویس‌ها	
نوسان	amp
مقدار متوسط	mean

## 7- مراجع

- [1] G. J. Herbert, S. Iniyian, E. Sreevalsan, S. Rajapandian, A review of wind energy technologies, *Renewable and sustainable energy Reviews*, Vol. 11, No. 6, pp. 1117-1145, 2007.

"شکل‌های ۸ و ۹" به سبب همین رفتار جریان است. با افزایش هرچه بیشتر طول لغزشی، بخصوص در  $400\mu\text{m}$  = ۵، ناچیه‌ی لبه‌ی جلویی ایرفویل در سمت مکشی بسیار کم‌فارساتر از طول های لغزشی پایین‌تر از خود می‌باشد، "شکل 12". این کاهش شدید به حدی است که هیچ‌گونه افزایش قابل ذکر در نمودار ضرائب برآ و پس وجود نخواهد داشت و متعاقباً منحنی‌های حرکت-بالا و حرکت-پایین به یکدیگر نزدیک‌تر خواهند شد.

برای یک ایرفویل با نوسان گامی در حالت شرط عدم لغزشی، گرادیان فشار معکوس<sup>۱</sup> بر لبه‌ی جلویی ایرفویل در سطح مکشی، بسیار کم‌تر از متناظر آن برای ایرفویلی با حرکت پایاست [22]. نتیجاً پدیده‌ی جدایش جریان به تعویق می‌افتد؛ اما با اعمال شرط مرزی لغزشی گرادیان فشار مخالف کاهش چشم‌گیری می‌یابد که این خود سبب تأخیر هرچه بیشتر جدایش جریان و متعاقباً پدیده‌ی استال ایرفویل است. منحنی‌های ضریب فشار حول ایرفویل در زاویه‌ی حمله‌ی  $\alpha = 17.5^\circ$ ، این "شکل 11"، حقیقت را آشکار می‌کنند؛ چرا که با افزایش طول لغزشی، همانند ساختار جریان در "شکل 12"؛ ضریب فشار در سمت مکشی لبه‌ی جلویی ایرفویل، کاهشی حدوداً ۲.۵ برابر نسبت به شرط عدم‌لغزش خواهد داشت. این کاهش شدید فشار در ناحیه‌ی لبه‌ی جلویی در طی حرکت-بالا، نه تنها سبب تأخیر در تشکیل گردابهی استال دینامیکی و نقطه‌ی استال ایرفویل می‌گردد، بلکه باعث کاهش چشم‌گیر پسای فشار<sup>۲</sup> تحمیلی به ایرفویل خواهد شد. این خود دلیلی بر پایین‌تر بودن مقادیر ضرائب پسا در طی حرکت-بالا به نسبت-حرکت-پایین در "شکل‌های ۹ (الف)، ۹ (ب) و ۹ (ج)" می‌باشد.

با مشاهده‌ی خطوط جریان در "شکل 12" ثابت می‌گردد که با افزایش طول لغزشی، اندازه‌ی گردابهی استال دینامیکی بسیار کوچک‌شده و قبل از آن که بتواند کل سطح مکشی ایرفویل را پیشاند، از آن جدا شده و به ناحیه‌ی برخاستگی<sup>۳</sup> می‌رود. در نتیجه ناحیه‌ی کم‌فارسات از گردابه رشد کمتری بر سطح ایرفویل داشته و استال دینامیکی به تأخیر خواهد افتاد.

## 5- نتیجه‌گیری

در این مقاله یک ایرفویل دوبعدی SD7037 به صورت عددی در حالت حرکت دینامیکی نوسان یافت، تا بدین وسیله مشخصه‌های جریان گذرنده حول ایرفویل تحت بارهای انحرافی، در حضور شرط مرزی لغزشی در عدد رینولدز پایین مطالعه گردد،  $\text{Re} \approx 4 \times 10^4$ .

نوسان یافتن ایرفویل دینامیکی به حدی بوده که متحمل پدیده‌ی استال دینامیکی شده است. شرط مرزی خاص مذبور، به استفاده از یک پوشش فوق آبگریز، به عنوان رویکردی برای جلوگیری از بخزدگی پره، ارتباط دارد. رفتار جریان و بارهای آبودینامیکی با آنچه که در ادبیات موجود است، همخوانی داشت.

نتایج حاکی از آن بودند که مقادیر بارهای آبودینامیکی و زوایای استال دینامیکی تحت تاثیر اعمال شرط مرزی لغزشی بودند. به گونه‌ای که با افزایش هرچه بیشتر طول لغزشی سطح، استال دینامیکی و تشکیل گردابهی استال نیز به تعویق افتاده است. همچنین افزایش طول لغزشی، در نتیجه‌ی خود کاهش یافتن بیشینه مقادیر ضریب برآ و کمتر شدن نوسانات را در طی منحنی حرکت-پایین به دنبال داشته است؛ تا جایی که در طول لغزشی بسیار بالا، عملاً هیچ‌گونه نوسانی در نمودارهای ضرائب برآ وجود نداشته است. رفتاری بسیار مشابه، برای ضرائب پسا مشاهده گردیده است.

<sup>1</sup> Adverse pressure gradient

<sup>2</sup> Pressure drag

<sup>3</sup> Wake

- [13] K. Gharali, D. A. Johnson, PIV-based load investigation in dynamic stall for different reduced frequencies, *Experiments in fluids*, Vol. 55, No. 8, pp. 1803, 2014.
- [14] *Wind turbine icon*, Accessed; <https://www.shareicon.net>.
- [15] E. Bakhtiari, K. Gharali, S. F. Chini, Effects of superhydrophobic surfaces for a wind turbine blade element, *Proceedings of ICCE 2017: 6<sup>th</sup> International Conference & Exhibition on Clean Energy*, pp. 27-36, Toronto, Canada, August 21-23, 2017.
- [16] J. P. Rothstein, Slip on superhydrophobic surfaces, *Annual Review of Fluid Mechanics*, Vol. 42, pp. 89-109, 2010.
- [17] C. Navier, Mémoire sur les lois du mouvement des fluides, *Mémoires de l'Académie Royale des Sciences de l'Institut de France*, Vol. 6, No. 1823, pp. 389-440, 1823.
- [18] R. B. Langtry, F. R. Menter, Correlation-based transition modeling for unstructured parallelized computational fluid dynamics codes, *ALAA journal*, Vol. 47, No. 12, pp. 2894-2906, 2009.
- [19] K. Gharali, E. Gharaei, M. Soltani, Numerical simulation of unsteady free stream velocity on an oscillating horizontal axis wind turbine blade element., *Modares Mechanical Engineering*, Vol. 17, No. 3, pp. 1-9, 2017. (in Persian)  
قارئی
- [20] A. Choudhry, M. Arjomandi, R. Kelso, Methods to control dynamic stall for wind turbine applications, *Renewable energy*, Vol. 86, pp. 26-37, 2016.
- [21] K. Gharali, D. A. Johnson, Dynamic stall simulation of a pitching airfoil under unsteady freestream velocity, *Journal of Fluids and Structures*, Vol. 42, pp. 228-244, 2013.
- [22] F. O. Carta, Effect of unsteady pressure gradient reduction on dynamic stall delay, *Journal of Aircraft*, Vol. 8, No. 10, pp. 839-841, 1971.
- [2] N. Dalili, A. Edrisy, R. Carriveau, A review of surface engineering issues critical to wind turbine performance, *Renewable and Sustainable Energy Reviews*, Vol. 13, No. 2, pp. 428-438, 2009.
- [3] P. Antikainen, Ice loads case study, *Proceedings of The 5th Conference on Wind Energy Production in Cold Climates, Levi, Finland, 2000-11*, 2000.
- [4] W. J. Jasinski, S. C. Noe, M. S. Selig, M. B. Bragg, Wind turbine performance under icing conditions, *Journal of Solar Energy Engineering*, Vol. 120, No. 1, pp. 60-65, 1998.
- [5] T. Laakso, L. Talhaug, G. Ronsten, R. Horbaty, et al., Wind energy projects in cold climates, *International Energy Agency*, pp. 36, 2005.
- [6] M. C. Homola, Impacts and causes of icing on wind turbines, *Navrik University College Report*, 2005.
- [7] B. Tammelin, *Wind energy production in cold climate: Ilmatieteen Laitos*, 2000.
- [8] C. Antonini, M. Innocenti, T. Horn, M. Marengo, et al., Understanding the effect of superhydrophobic coatings on energy reduction in anti-icing systems, *Cold Regions Science and Technology*, Vol. 67, No. 1-2, pp. 58-67, 2011.
- [9] L. Cao, A. K. Jones, V. K. Sikka, J. Wu, et al., Anti-icing superhydrophobic coatings, *Langmuir*, Vol. 25, No. 21, pp. 12444-12448, 2009.
- [10] L. W. Carr, Progress in analysis and prediction of dynamic stall, *Journal of aircraft*, Vol. 25, No. 1, pp. 6-17, 1988.
- [11] A. Choudhry, M. Arjomandi, R. Kelso, Horizontal axis wind turbine dynamic stall predictions based on wind speed and direction variability, *Proceedings of the Institution of Mechanical Engineers, Part A: Journal of Power and Energy*, Vol. 227, No. 3, pp. 338-351, 2013.
- [12] W. J. McCroskey, The phenomenon of dynamic stall, *National Aeronautics and Space Administration Moffett Field Ca Ames Research Center*, 1981.